

CORRIGÉ Physique A (CONCOURS BLANC 2019)

Premier problème : Filtre à "variable d'état"

I.1] figure (1) : $s(t) = -\frac{1}{RC} \int e dt$ intégrateur inverseur

$$\text{et } \underline{H_1}(j\omega) = \frac{S}{E} = -\frac{1}{jRC\omega} = -\frac{1}{j\frac{\omega}{\omega_0}} = j\frac{\omega_0}{\omega}$$

figure (2) : $\underline{H_2} = \frac{-aR}{R} = -a$

et $s(t) = -a e(t)$. amplificateur inverseur.

figure (3) : $\frac{s}{-R} = \frac{e_1}{R} + \frac{e_2}{R} + \frac{e_3}{R}$

$$\Rightarrow \underline{s} = - (e_1 + e_2 + e_3) \quad \text{sommateur inverseur.}$$

et donc : $\underline{S} = -(\underline{E}_1 + \underline{E}_2 + \underline{E}_3) \leftarrow \text{amplitude complexes}$

et $s(t) = -(e_1(t) + e_2(t) + e_3(t)) \leftarrow \text{grandeurs réelles instantanées.}$

I.2] On écrit les relations entrée-sortie de chaque montage à AO idéal fonctionnant en régime d'amplification. (linéaire).

$$s(t) = -\frac{1}{RC} \int v_N(t) dt \quad \text{ou bien } v_N(t) = -RC \dot{s}(t).$$

$$v_M(t) = -RC \dot{v}_N(t) = +(RC)^2 \ddot{s}(t)$$

$$v_P(t) = -a v_N(t) = RCa \dot{s}(t).$$

enfin sur le sommateur inverseur :

$$-\frac{v_M}{R} = \frac{e}{R} + \frac{v_P}{R} + \frac{s}{R}$$

$$e + v_P + v_M = -s. \quad \text{ou } e = -s - v_P - v_M$$

$$\text{soit } e = -s - RCa \dot{s} - (RC)^2 \ddot{s}$$

$$\text{ou } \boxed{e = -\left(s + \frac{a}{\omega_0} \dot{s} + \frac{\ddot{s}}{\omega_0^2}\right)}$$

$$\underline{H_4}(j\omega) = \frac{S}{E} = -\frac{1}{1 + \frac{j\omega a}{\omega_0} + \frac{\omega^2}{\omega_0^2}}$$

filtre passe-bas du second ordre.

Pour $a = \sqrt{2}$:

$$H_{y\text{dB}} = g_{y\text{dB}} = 20 \log_{10} |H_y|$$

$$= -20 \log_{10} \left(\sqrt{\left(1 - \left(\frac{\omega}{\omega_0}\right)^2\right)^2 + 2 \frac{\omega}{\omega_0^2}} \right)$$

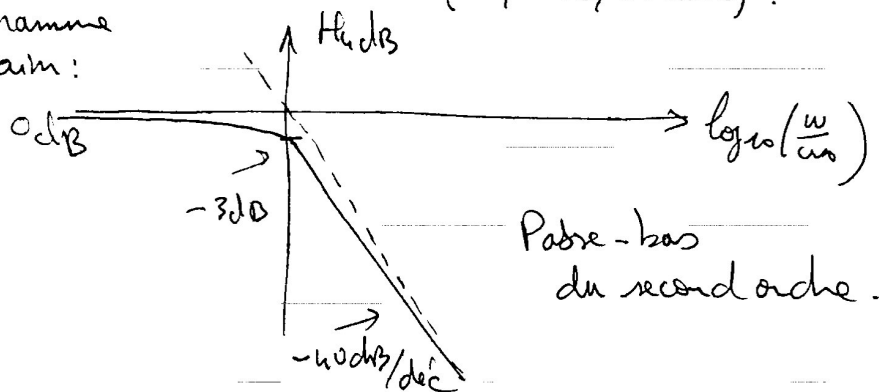
$$H_{y\text{dB}} = -10 \log_{10} \left(1 + \left(\frac{\omega}{\omega_0}\right)^4 \right)$$

pour $\frac{\omega}{\omega_0} \rightarrow 0$ $H_{y\text{dB}} \rightarrow 0$

pour $\frac{\omega}{\omega_0} = 1$ $H_{y\text{dB}} = -3 \text{ dB}$

pour $\frac{\omega}{\omega_0} \rightarrow \infty$ $H_{y\text{dB}} \rightarrow -10 \log_{10} \left(\left(\frac{\omega}{\omega_0}\right)^4 \right)$
 $\rightarrow -40 \log_{10} \left(\frac{\omega}{\omega_0} \right)$
 (-40 dB/décade).

Allure du diagramme de BODE du gain :



I.3) On a circuit RLC série alimenté par 1 générateur de Thévenin

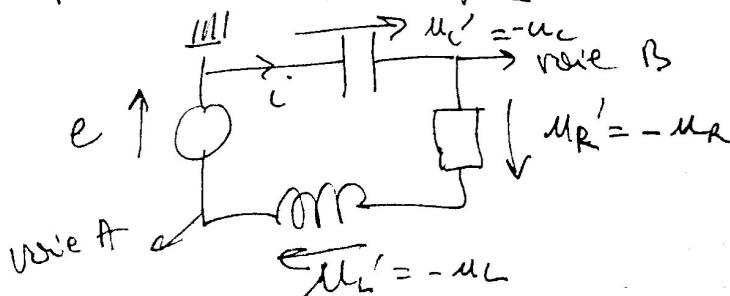
on aura : $e(t) = R i'(t) + L \frac{di}{dt} + \frac{q}{C}$ avec $\frac{dq}{dt} = q' = i$

soit $e(t) = R q' + L q'' + \frac{q}{C}$

$\Rightarrow e(t) = RC u_c' + LC u_c'' + u_c$

on prendra donc la tension aux bornes du condensateur en sortie.

et pour avoir le même signe il faudra prendre la même ainsi :



avec $LC = \frac{1}{\omega_0^2}$

et $RC = \frac{a}{\omega_0}$

II.1] $f_h =$ fréquence d'"horloge" (plutôt de commutation de l'interrupteur).

les charges et décharges de condensateur sont "instantanées"

($T_h \gg RC$) temps caractéristique de charge ou de décharge de C_0 par r .

position A_1 : $q_1 = C_0 V_1$

position A_2 : $q_2 = C_0 V_2$

chargé "transférée" à C car l'A.O doit présenter idéal
1 tension différentielle d'entrée $E = e^+ - e^- = 0V$
en régime linéaire de telle façon que toute la charge se retrouve sur C .

ainsi $\Delta q = C_0 V_1 - C_0 V_2$

↑
ce que l'on
avait accumulé
dans C_0

↓ ce qui reste
accumulé
dans C_0 .

(= 0 si l'A.O présente $E = 0$!)

donc, a priori : $\Delta q = C_0 (V_1 - V_2)$.

l'intensité moyenne (par période de commutation) passant de A_1 à A_2 s'écrit donc : $i_{\text{moy}} = \frac{\Delta q}{T_h} = \frac{C_0 (V_1 - V_2)}{T_h}$

II.2] la relation précédente est analogue à une loi d'Ohm de type : $i_{\text{moy}} = \frac{(V_1 - V_2)}{R_e}$ avec $R_e = \frac{T_h}{C_0}$

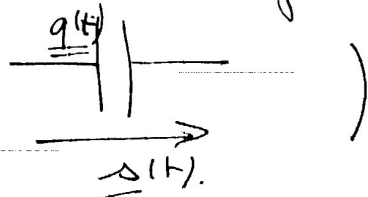
(la "valeur" ← ceci est une notion quantitative)

(nous ne connaissons ni C_0 ni T_h pour le moment)

II.3] A chaque période de commutation, on emmagasine dans C une charge supplémentaire de $\Delta q = C_0 E_0$
(cf réflexion sur $E = 0$)

Or sur le condensateur C , on peut écrire :

$$q(t) = -C s(t) \quad (\text{attention à la position de la charge !})$$



Donc si on part d'un condensateur C déchargé, $s(t)$ "augmente" de $-\frac{dq}{C}$ à chaque commutation.

et on aura donc :

$$s(t) = \left(-\frac{C_0 \epsilon_0}{C} \right) \times p$$

à la fin de la période commutation.

Si cette tension $s(t)$ prend une valeur extrême (c'est à cause de la saturation de l'ALI à $-V_{sat}$ (si $\epsilon_0 > 0$))

II.4) $e(t) = \epsilon_0 \sin(\omega t)$ avec $\omega = \frac{2\pi}{T}$

→ période du signal sinusoïdal \neq période de commutation!

a) C_0 est chargé "instantanément" à $t = pTh$.

C_0 est déchargé "instantanément" à $t = (p + \frac{1}{2})Th$.

On écrit donc entre les instants $(p-1)Th$ et pTh :

$$s(pTh) = s(pTh - Th) + \left(-\frac{C_0}{C} e((p-1)Th) \right)$$

b) La période T étant très supérieure à Th , on peut considérer les variations de s et e sur Th suffisamment faibles pour approximer :

$$s(pTh) - s(pTh - Th) \approx \frac{ds}{dt} \times Th$$

soit $\frac{ds}{dt} \times Th = -\frac{C_0}{C} e(t)$

comme approximation continue :

ce qui s'écrit en grandeurs complexes :

$$j\omega \underline{S} Th = -\frac{C_0}{C} \underline{E}$$

$$\text{or } \underline{H} = \frac{\underline{S}}{\underline{E}} = -\frac{C_0}{C} \times \frac{1}{j\omega Th}$$

en notant $R_c = \frac{Th}{C_0}$ (question II.1)

on aura : $\underline{H} = \frac{\underline{S}}{\underline{E}} = \frac{1}{R_c} \times \frac{1}{j\omega} \rightarrow$ montage équivalent à 1 intégrateur inverseur

\rightarrow à condition que :

- les charges, décharges soient instantanées
- la période de commutation soit très courte devant la période minimale du signal que l'on cherche à intégrer.

II. 5) a) $s(t)$ est le signal crénelé et $e(t)$ la sinusoïde d'alimentation (les variations légères de $e(t)$ lors des commutations sont liées à la résistance interne du générateur délivrant le signal & lorsqu'un courant "important" est débité pendant les charges de C_0 on observe une petite "chute de potentiel" $r_i(t)$.)

b) On compte 10 créneaux par cycle (1 cycle \Leftrightarrow 20 μ s).
donc $Th = \frac{200}{10} = 20 \mu\text{s} \Rightarrow fh = \frac{1}{Th} = \frac{1}{20 \cdot 10^{-6}} = 0,05 \cdot 10^6 \text{ Hz}$
 $fh = \underline{50 \text{ kHz}}$

c) $e(t)$ atteint son max $\frac{1}{4}$ de période après $s(t)$.
donc la sortie est en quadrature avancée sur l'entrée ($\varphi_{s/e} = +\frac{\pi}{2}$)

d) $\text{gain} = \frac{4,080}{7,783} = \frac{1}{RC\omega} = \frac{C_0}{C Th 2\pi f}$

avec $f = 1 \text{ kHz}$

$$fh = \frac{1}{Th} = 50 \text{ kHz}$$

$$\text{A.N. : } C \approx \frac{7,783}{4,080} \times \frac{2,2}{2\pi} \times 50 \mu\text{F}$$

$$C \approx \underline{33 \mu\text{F}}$$

c) la "marche" est maximale quand $e(t)$ est maximal

$$\frac{\Delta \Delta}{I_{th}} = - \frac{C_0}{C I_{th}} e_{max}$$

$$\Delta \Delta = - \frac{2,8}{33} \times \frac{7,8}{2} \approx - \frac{7,8}{30} \approx \underline{\underline{-0,26 V}}$$

(confirmation d'environ 4 "marches" descendants pour $-1V$)

f) $\tau C_0 = 50 \times 22 \cdot 10^{-9} \neq 10^{-7} s = 0,1 \mu s.$

$$0,1 \mu s \ll 20 \mu s (= T_{th})$$

donc l'hypothèse d'une charge "instantanée" (constante durée devant la période de commutation) est vérifiée.

III. 1) On peut considérer le signal échantillonné aux bornes de C_0 dans la mesure où la valeur de tension $e((p-1)T_h)$ est "stockée" dans le condensateur mais il ne s'agit pas d'une valeur numérique ne présentant de valeur qu'à $(p-1)T_h$ (pas discrète en vérité) et son transfert ne sera pas exact vers C .

Lorsqu'un signal est numérisé, cela signifie une valeur discrète de tension à t instant discret. La valeur de tension ne peut être qu'un multiple d'un quantum de tension q lié à la dynamique ($\Delta \Delta$) (plage min-max) et au nombre de bits N de stockage sur le convertisseur avec :

$$q = \frac{\Delta \Delta}{2^N - 1}$$

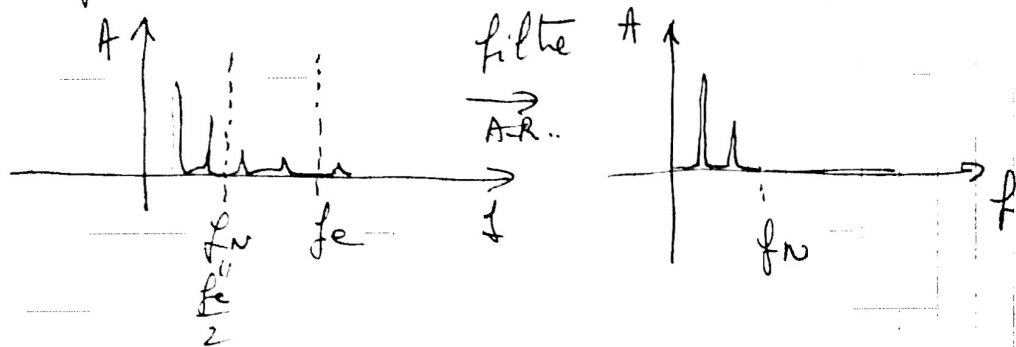
Ce n'est aucunement le cas ici ! Les valeurs "précisées" de tension peuvent prendre n'importe quelle valeur !

\Rightarrow Il ne s'agit pas d'un signal numérisé !

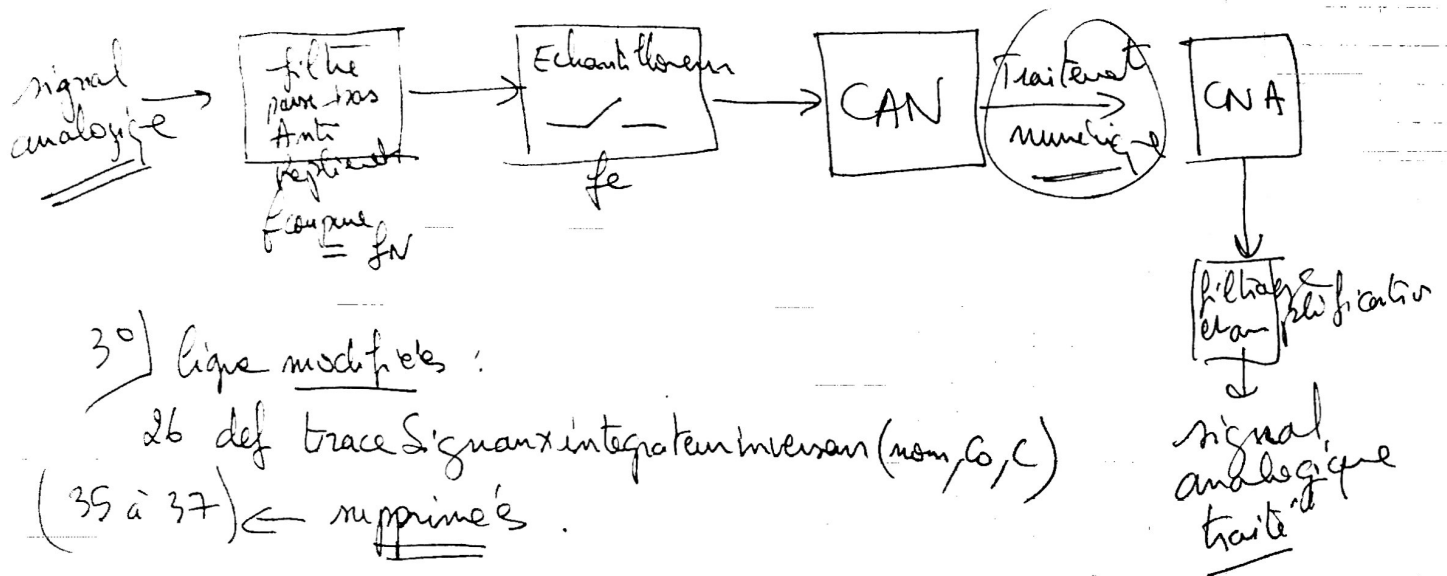
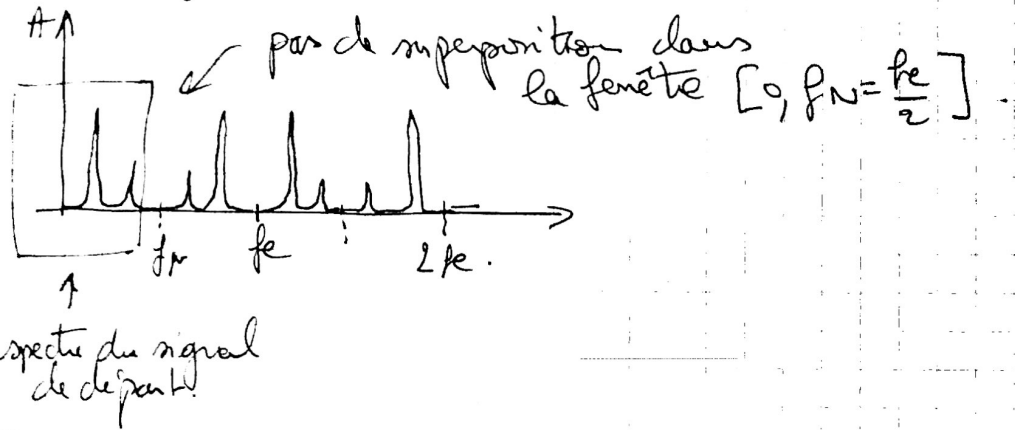
2) Le critère de Shannon stipule que la fréquence d'échantillonnage doit excéder le double de la fréquence maximale du signal échantillonné -

On nomme fréquence de Nyquist : $f_N = \frac{f_e}{2} > f_{\max \text{ signal}}$

Un signal contenant des fréquences "infinies" (pas de limite supérieure pour le spectre) sera "tronqué" à f_N pour que le spectre "répliqué" (aliasing) (apparu à cause de l'échantillonnage) ne se superpose pas au spectre "réel" :



et spectre du signal échantillonné :



3°) ligne modifiée :

26 def trace S'ignaux intégration inversant (nom, Co, C)

(35 à 37) ← supprimés.

$$39 \quad u_1[i+1] = u_1[i] - \frac{C_0}{C} u_0[i]$$

42 plot (to, u1, 'r+', label = "signal intégré")

(commentaires évidents)

SECOND PROBLÈME : Écoulement dans un canal.

Canal (vu de haut).

42) Dans ce cas d'un écoulement incompressible, le débit volumique se conserve le long d'un tube de courant. Ce débit est tant

le flux de vecteur vitesse au travers 1 section S de tube :

$$DV = \int_S \vec{v} \cdot d\vec{s} \text{ devient } DV \approx v(M) \times S_{\perp}(M) \text{ sur 1 tube}$$

dans lequel la vitesse est sensiblement uniforme sur 1 section droite.

Ainsi un rétrécissement de largeur (diamètre) de tube de courant correspond à une augmentation de vitesse -

$$\rightarrow \text{De B à J} \Rightarrow \text{rétrécissement} \Rightarrow v(J) > v(B) = v(A)$$

$$\rightarrow \text{en K} \dots \text{point d'arrêt } v_K = 0 \text{ m.s}^{-1}$$

(tourbillons \rightarrow turbulence \rightarrow vitesse moyenne nulle en ce point.)

$$\rightarrow \text{de A à C} : v_C > v_I > v_A$$

et $v_D = v_C$ (symétrie apparente.)

$$43) DV = v(A) \times L_1 h$$

$$\text{A.N. : } DV = 0,7 \times 0,7 \times 0,7$$

$$DV = 125 \cdot 10^{-3} \text{ m}^3/\text{s}$$

$$DV = 0,125 \text{ m}^3/\text{s}$$

$$v_C = \frac{DV}{L_2 h}$$

$$v_C = v(A) \times \frac{L_1}{L_2} = \frac{3}{2} \cdot 0,7 = 0,75 \text{ m/s}$$

44) BERNOLLI :

$$\rightarrow \text{le long d'un tube de courant} : P + \frac{\rho v^2}{2} + \rho g z = Ct.$$

si | fluide incompressible-homogène.
| écoulement permanent
| fluide parfait.

(Hors-programme : si l'écoulement est irrotationnel, cette constante est valable sur tout l'écoulement)

45) M est ici un point d'arrêt (en RP le fluide en écoulement ne peut plus entrer dans la veine centrale du tube de Pitot : conservation du débit volumique nul : c'est 1 modèle caricatural de la zone turbulente à cette entrée où du liquide entre et sort).

On écrira donc que $v(M) = 0 \text{ m.s}^{-1}$

✶ Pour trouver 1 relation entre M et N il faut au préalable définir les points M_0 et N_0 en amont sur les m lignes de courant que M et N \Rightarrow situations analogues non perturbées par le tube de Pitot :
- m vitesse U en M_0 et N_0
- différence d'altitude négligée
- m pression P_0 aux deux points.

On applique alors le théorème de BERNOULLI sur les deux tubes en spécifiant qu'au point N, les turbulences induisent une uniformité de pression de part et d'autre de l'ouverture (avec 1 vitesse U non modifiée en N (côté extérieur à Pitot) et 1 vitesse nulle à l'intérieur).

Bernoulli sur la ligne de courant $M_0 M$:

$$P_0 + \frac{\rho U^2}{2} = P_M$$

Bernoulli sur la ligne de courant $N_0 N$:

$$P_0 + \frac{\rho U^2}{2} = P_N + \frac{\rho U^2}{2}$$

Permettant d'en déduire : $\Delta P \equiv P_M - P_N = \frac{\rho U^2}{2}$

46) la relation entre les pressions dans les tubes fins est issue de la statique des fluides : équilibre du "boudin" de liquide de masse volumique ρ_0 sous l'influence de forces de pressions dissymétriques :

$$\Delta P' \times \underset{\substack{\downarrow \\ \text{section} \\ \text{du tube}}}{S} = (\rho_0 h \cdot S) \times g \Rightarrow \Delta P' = \rho_0 g h$$

L'identification de ce $\Delta P'$ à ΔP correspond à négliger la variation de pression ρgh due à la variation d'altitude dans le tube de pitot pour le fluide de masse volumique ρ . (fluide dense doit être compris $\rho_0 \gg \rho$).

47) Dans cette hypothèse: $\Delta P' = \Delta P = \rho gh = \frac{\rho U^2}{2}$

on aura alors: $U = \sqrt{\frac{2\rho gh}{\rho}}$

(Rq: si on ne faisait pas l'approx de la question 46, on aurait:

$$\Delta P' = (P_M + \rho gh) - P_N = \rho gh + \frac{\rho U^2}{2}$$

et donc $\rho gh + \frac{\rho U^2}{2} = \rho gh$

soit $U = \sqrt{\frac{2(\rho_0 - \rho)gh}{\rho}}$)

48) $v(A) = 0,5 \text{ m.s}^{-1}$

$Re = \frac{0,5 \times (1)}{10^{-6}} \rightarrow 0,5 \text{ m}$

$\nu_{\text{eau liquide } 20^\circ\text{C}} = 10^{-6} \text{ m}^2.\text{s}^{-1}$

$Re = 0,25 \cdot 10^6 = 2,5 \cdot 10^5 \Rightarrow$ Régime turbulent!

En fait on ne sait pas à quelle distance est le pt A de la paroi latérale du canal. (pourquoi prendre L_1 ?)

On peut seulement faire la remarque suivante \hookrightarrow les forces de viscosité sont d'autant moins importantes dans l'écoulement que le nombre de Reynolds est élevé \Rightarrow prédominance des forces d'inertie.

L'hypothèse de fluide parfait est donc assez satisfaisante.

TROISIÈME PROBLÈME : Optique physique et géométrique.

I.1.1) "Formule" de FRESNEL (ou des interférences à 2 ondes).

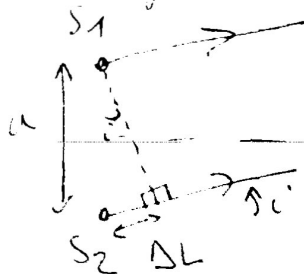
$$I(M) = 2I_0 (1 + \cos \Delta\phi)$$

I.1.2) $\Delta\phi = \frac{2\pi \Delta L}{\lambda}$

$\lambda \rightarrow$ longueur d'onde dans le vide.

I.1.3) a) $\left. \begin{array}{l} a \ll d \\ \text{ou} \\ z \ll d \end{array} \right\}$ à utiliser immédiatement \Rightarrow différence de marche approximée à celle à l' ∞ sous une inclinaison : $i \approx \tan i = \frac{z}{d}$.

dans cette approximation, on lit directement la différence de marche géométriquement.



soit $\Delta L = a \sin i \approx a i$

$$\Delta L \approx a \frac{z}{d}$$

b) $I(M) = 2I_0 \left(1 + \cos \left(\frac{2\pi a z}{d \lambda} \right) \right)$

c) Par définition : $p_0 = \frac{\Delta L(0)}{\lambda} = 0$
 \Rightarrow frange lumineuse \uparrow la longueur d'onde.

d) \perp différence de marche pour \perp inclinaison i
 \Rightarrow franges rectilignes sur l'écran.
 (dirigées suivant $y \perp$ à la figure).

Par définition : $d_i = |z_p - z_{p-1}| \quad (= \frac{\lambda d}{a})$.

avec pour les franges brillantes $p = k$ entier.

ou bien + simplement on cherche la périodicité spatiale sur z de l'intensité lumineuse

$$\cos \left(\frac{2\pi a z}{d \lambda} \right) = \cos \left(\frac{2\pi z}{d_i} \right) \Rightarrow d_i = \frac{\lambda d}{a}$$

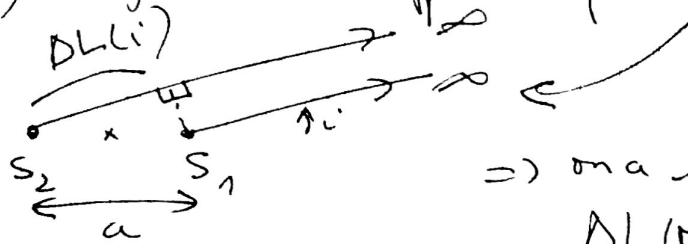
(d) est très mauvais desix de notation!

I.13 e) AN: premier max pour

$$d_i = \frac{\lambda d}{a} = \frac{500 \cdot 10^{-9} \times 1}{10^{-3}} = 0,5 \cdot 10^{-3} \text{ m}$$

$$d_i = 0,5 \text{ mm}$$

I.1.4) a) toujours en rappelant que $a \ll d$.



\Rightarrow on a immédiatement $DL(M_{i \rightarrow \infty}) = a \cos i'$.

\rightarrow l'énoncé suggère d'écrire:

$$\Delta L = (S_2 M) - (S_1 M)$$

$$\text{avec } (S_1 M) = S_1 M = \sqrt{SM^2 + SS_1^2 - 2SM \cdot SS_1 \cos i}$$

\uparrow ordre 2 \uparrow ordre 2 \uparrow ordre 1
 $\frac{SM^2}{2}$ $\frac{SS_1^2}{2}$ $\frac{SM \cdot SS_1}{1}$

et donc

$$(S_2 M) = S_2 M = \sqrt{SM^2 + SS_2^2 - 2SM \cdot SS_2 \cos i'}$$

$$\text{soit } \Delta L \approx SM \left(\left(1 - \frac{2 \vec{SM} \cdot \vec{SS}_2}{SM^2} \right) - \left(1 - \frac{2 \vec{SM} \cdot \vec{SS}_1}{SM^2} \right) \right)$$

\hookrightarrow ordre 2 néglige' + DL de $\sqrt{1+\epsilon} \approx 1 + \frac{\epsilon}{2}$.

$$\Delta L \approx \frac{SM}{SM} (\vec{SS}_1 - \vec{SS}_2) = \frac{SM}{SM} \times S_2 S_1$$

$$\Delta L \approx \vec{u}_{SM} \cdot S_2 S_1 = a \cos i'$$

\downarrow
vecteur unitaire
de direction donnée
par i

(inutilement
long !)

b) $\Delta L(i) = a \cos i \approx a \left(1 - \frac{i^2}{2} \right)$ à l'ordre 2 en i
 ou $\tan i \approx i \approx \frac{p}{d}$ (\rightarrow notation proposée à la question suivante.)

$$\Rightarrow \Delta L(i) \approx a \left(1 - \frac{p^2}{2d^2} \right)$$

$$c) I(M) = 2I_0 \left(1 + \cos \frac{2\pi a \left(1 - \frac{p^2}{2d^2} \right)}{\lambda} \right)$$

d) en $l=0$

$$\Rightarrow I(M) = 2I_0 \left(1 + \cos \frac{2\pi a}{\lambda} \right)$$

et $p_0 = \frac{\Delta L(0)}{\lambda} = \frac{a}{\lambda}$ AN: $p_0 = \frac{10^{-3}}{500 \cdot 10^{-9}}$

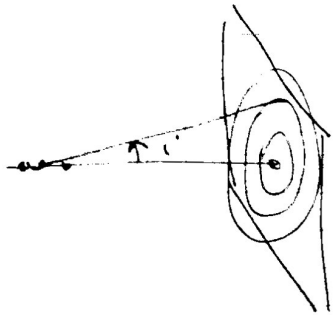
$$p_0 = \frac{10000}{5} = \underline{\underline{2000}}$$

Value totale et
approche

(les chiffres ne sont pas significatifs)

ne sont pas en déduire que la fange centrale est brillante par exemple!

e) Il s'agit d'une figure d'anneaux (c'est la inclinaison)



f) Premier rayon d'anneau brillant

$$\text{pour } \frac{a}{\lambda} \left(1 - \frac{l_1^2}{2d^2} \right) = 10 - 1$$

(d'origine de l'ordre avec le rayon).

$$\frac{a l_1^2}{2\lambda d^2} = 1$$

$$\Rightarrow l_1 = d \sqrt{\frac{2\lambda}{a}}$$

$$\text{AN: } l_1 = \sqrt{\frac{2 \times 500 \cdot 10^{-9}}{10^{-3}}} = \sqrt{10^{-3}} \approx 3,1 \cdot 10^{-2} \text{ m}$$

$$\approx \underline{\underline{3 \text{ cm}}}$$

I.15] Pour des observations à l'infini, il faut procéder à l'écran d'une lentille convergente à distance focale.

I.2] les miroirs sont "parallèles".

(figure page suivante)

I.2.2.c) au centre : $P_0 = \frac{S_0}{\lambda} = \frac{2e}{\lambda} = \frac{2,15 \cdot 10^{-3}}{0,5 \cdot 10^{-6}} = \underline{5000}$

I.2.3] a) question très pénible sans support de dessin qui devrait être fourni dans l'énoncé.
(mécanité également à compas!)

⇒ question à faire puisque on vous donne le résultat :
2 sources écartées transversalement de a .

b) Faits (si vous le souhaitez ← ce n'est pas important!) le dessin en temps libre.

On aura alors : $a = 4l \sin(2\alpha)$
(n/d_1 et n/d_2 égaux à l).

c) On aura des franges rectilignes (conformément à la question I.1.3d).

d) On rappelle la formule de l'interfrange :
$$d_i = \frac{\lambda d}{a} = \frac{\lambda (L+3l)}{a} = \frac{\lambda (L+3l)}{4l \sin(2\alpha)}$$

A.N possible simplement si $a = 4l \sin(2\alpha)$
a été trouvé.

$$\alpha \approx 1,25 \cdot 10^{-4} \text{ rad.}$$

e) On pouvait aussi répondre à cette question sans expression analytique de $a(\alpha)$.

⇒ si α augmente, les images S_1 et S_2 s'écartent de l'axe vertical (en effet si $\alpha = 0 \Rightarrow$ sur l'axe) (confondus)

donc d_i diminue puisque a augmente.

QUATRIÈME PROBLÈME: Positions des télescopes spatiaux

1°) HUBBLE

- 1.1) Si on se limite à l'interaction terrestre, nous sommes dans la situation d'un problème à 2 corps en interaction newtonienne dans 1 référentiel géocentrique (approximé galiléen!). Dans ce cas la trajectoire est une conique (ellipse, parabole ou hyperbole) dont le centre de la terre occupe un des foyers. Sachant que l'on souhaite que la trajectoire reste liée (à la terre), il s'agit d'une trajectoire elliptique (comme celles des planètes autour du soleil dans l'approximation à 2 corps dans 1 référentiel héliocentrique galiléen)
- 1.2) En notant γ la constante de gravitation universelle, l'interaction entre le télescope Hubble et la terre s'écrit:

$$\vec{F}_{T/H} = -\gamma \frac{M_T m}{r^2} \vec{e}_r$$

\swarrow ← ↙
 subie par Hubble masse de Hubble.
 de ce point de
 la terre. avec \vec{e}_r dirigé de la terre vers le télescope.

Et la deuxième loi de Newton (ou TRD appliqué à 1 pt matériel) s'écrit:

$m \vec{a} = -\frac{\gamma M_T m}{r^2} \vec{e}_r$
 l'accélération est donc purement radiale et si le mouvement est circulaire alors:

$$\vec{v} = r \dot{\theta} \vec{e}_\theta \quad \text{avec } r = ct$$

donc $\vec{a} = \left(\frac{d\vec{v}}{dt} \right)_{R_{géo}} = r \dot{\theta} \frac{d\vec{e}_\theta}{dt} + r \ddot{\theta} \vec{e}_\theta = r \dot{\theta} \frac{d\vec{e}_\theta}{d\theta} \cdot \frac{d\theta}{dt} + r \ddot{\theta} \vec{e}_\theta$ (ou \vec{a} radiale)

soit: $\vec{a} = r \dot{\theta}^2 (-\vec{e}_r) = -r \dot{\theta}^2 \vec{e}_r$
 (accélération centripète).

Ainsi: $-r \dot{\theta}^2 \vec{e}_r = -\gamma \frac{M_T}{r^2} \vec{e}_r$ et $\ddot{\theta} = 0$

(1) (2)

(l'égalité (2): $\ddot{\theta} = 0 \Rightarrow r \dot{\theta} = v = ct$ (avec $r = ct$).
 le mouvement est donc obligatoirement uniforme
 s'il est circulaire.

1.3) L'égalité (1) donnera la valeur de cette vitesse v constante.

$$r\dot{\theta}^2 = \frac{U_{\gamma} M_T}{r^2} = \frac{(r\dot{\theta})^2}{r} = \frac{v^2}{r}$$

$$\Rightarrow v = \sqrt{\frac{U_{\gamma} M_T}{r}} = \sqrt{\frac{U_{\gamma} M_T}{R_T + h}} \text{ avec } h \text{ l'altitude constante de Hubble}$$

Remarque : L'énoncé impose de passer par le second loi de Newton alors que le passage par l'énergie potentielle Newtonienne donnerait 1 résultat scalaire immédiat :

$$E_p = - \frac{U_{\gamma} M_T m}{r} + Cte. \quad (\text{on choisit } E_p = 0 \text{ pour } r \rightarrow \infty \Rightarrow Cte = 0)$$

donc la conservation de l'énergie mécanique totale donnerait :

$$\frac{1}{2} m v^2 + \left(- \frac{U_{\gamma} M_T m}{r} \right) = E_m = Cte.$$

$$\text{donc si } r = Cte \Rightarrow v = Cte.$$

1.4) S'agissant d'un mouvement circulaire uniforme, on obtient la période par le périmètre de la trajectoire circulaire :

$$v = \frac{2\pi r}{T} \Rightarrow T = \frac{2\pi r}{v} = 2\pi r \times \sqrt{\frac{r}{U_{\gamma} M_T}}$$

$$\text{ou encore : } \left[T = \frac{2\pi}{\sqrt{U_{\gamma} M_T}} (R_T + h)^{3/2} \right]$$

(la question se limitait en fait à écrire : $T = \frac{2\pi(R_T + h)}{v}$!)

1.5) Troisième loi de Kepler : Toutes les planètes décrivent des ellipses autour du soleil (foyer) vérifiant $\frac{T^2}{a^3} = Cte$ avec T la période et a le demi-grand axe de l'ellipse.

Dans le cas du télescope spatial, la terre joue le rôle de l'unique astre attracteur du mv2 à 2 corps et on obtient :

$$\left[\frac{T^2}{(R_T + h)^3} = \frac{4\pi^2}{U_{\gamma} M_T} \right]$$

$$1.6) \text{ Application numérique : } T = \frac{2 \times \pi \times (6370 + 600)^{3/2} (10^3)^{3/2}}{\sqrt{4.67 \cdot 10^{-11} \times 6 \cdot 10^{24}}}$$

$$\text{donnant : } T = 5780 \text{ s} = 1 \text{ h } 36 \text{ minutes. ou } 96 \text{ minutes}$$

2) Deuxième partie : James Webb

2.1) Dans le référentiel R' tournant avec le rayon Soleil-Terre le pt L_2 est 1 pt fixe qui devrait correspondre à une position d'équilibre (position d'équilibre pour le "petit corps" dans le problème dit "des 3 corps"). On écrit alors la condition d'équilibre avec la loi de Newton corrigée par la force d'inertie centrifuge soit :

$$\vec{0} = - \frac{G M_S m}{r_S^2} \vec{e}_{r_S} - \frac{G M_T m}{r_T^2} \vec{e}_{r_T} + m \omega_T^2 r_S \vec{e}_{r_S}$$

qui devient pour la recherche sur l'axe STM (L_2)

$$\vec{0} = - \frac{G M_S m}{(d+l)^2} \vec{e}_x - \frac{G M_T m}{l^2} \vec{e}_x + m \frac{G M_S (d+l)}{d^3} \vec{e}_x$$

soit l'équation scalaire :

$$0 = - \frac{M_S}{(d+l)^2} - \frac{M_T}{l^2} + \frac{M_S (d+l)}{d^3}$$

et en multipliant par d^2 :

$$M_S \left(\frac{d}{d+l} \right)^2 + M_T \left(\frac{d}{l} \right)^2 = M_S \left(\frac{d+l}{d} \right)$$

2.2) $k \equiv \frac{M_T}{M_S} = \frac{6 \cdot 10^{24}}{2 \cdot 10^{30}} = 3 \cdot 10^{-6}$

Cette définition du rapport des masses permet de simplifier l'équation sous la forme :

$$\left(\frac{d}{d+l} \right)^2 + k \left(\frac{d}{l} \right)^2 = \left(\frac{d+l}{d} \right)$$

2.3) En notant : $\varepsilon = \frac{l}{d}$

$$\left(\frac{1}{1+\varepsilon} \right)^2 + \frac{k}{\varepsilon^2} = 1 + \varepsilon$$

l'approximant à l'ordre 1 en ε : $(1 - 2\varepsilon) + \frac{k}{\varepsilon^2} \approx 1 + \varepsilon$

$$\Rightarrow \frac{k}{\varepsilon^2} \approx 3\varepsilon$$

$$\Rightarrow k \approx 3\varepsilon^3$$

$$\Rightarrow \varepsilon \approx \sqrt[3]{\frac{k}{3}} = \sqrt[3]{10^{-6}} = 10^{-2}$$

et donc : $l \approx 10^{-2} \times d \approx 1,5 \cdot 10^6 \text{ km}$

2.4) 1) On obtiendrait l'énergie potentielle de chacune des "forces" mises en jeu par intégration des forces puisque :

$$\vec{F} = -\text{grad } E_p \quad \text{ou bien} \quad dE_p = -\vec{F} \cdot d\vec{r}$$

(à appliquer à chacune des 3 forces)

On utiliserait alors l'expression de cette fonction scalaire (énergie potentielle) pour rechercher les positions correspondantes des extrema.

Attention : elle sera priori exprimée en fonction des variables x, y et z et il faudra tester des variations de dx, dy et dz .

Dans le cas d'un équilibre stable, il s'agit d'un minimum d'énergie potentielle et dans le cas instable, d'un maximum local d'énergie potentielle.

(Une position peut être stable vis-à-vis d'une modification de y et z et instable vis-à-vis d'une variation sur x).

2) A partir de la position d'équilibre L_2 , on remarque qu'une augmentation de x diminue les forces d'attraction "négatives" de la terre et du soleil alors que la force centrifuge "positive" augmente : ainsi le télescope JWST s'éloignera d'autant + de L_2 si on l'en écarte d'un $dx > 0 \Rightarrow$ INSTABLE (On peut faire le même raisonnement avec $dx < 0$).

2.5) Choix de L_2 :

Avantages :

- position d'équilibre (fixée dans \mathbb{R}^3)
- proximité de la terre (contrairement à L_3, L_4, L_5).
- cône d'ombre de la terre (?) vis-à-vis du soleil.

⇒ contrairement à SOHO qui consistait à observer le soleil.
(pas de pollution lumineuse?)

(en fait le JWST disposera d'un bouchon thermique séparant la face irradiée par le soleil porteur de cellules photovoltaïques et de la partie électronique qui holas émettrait de l'IR ! Or c'est dans l'IR que JWST devra faire ses images !)

Inconvénient principal : INSTABILITÉ

⇒ Motars à ergols (N_2O_4, N_2H_4) nécessaire pour maintenir la trajectoire approchée autour de L_2